

## 研究简报

## 应用铜基铂选择吸附法进行溴碘的放化分离

徐 新 白 兰 芹 肖 伦

(中国原子能科学研究院, 北京)

关键词 铜基铂, 选择吸附, 溴碘分离。

## 一、引言

在裂变产额测定及其他核化学研究中, 往往遇到溴碘的放化分离问题。现有的方法主要是利用 $\text{Br}^-$ 、 $\text{I}^-$ 氧化电位的不同, 采用控制氧化-蒸馏<sup>[1-4]</sup>或控制氧化-萃取的方法<sup>[4, 5]</sup>, 从O. Hahn<sup>[6]</sup>几乎一直沿用至今。这些方法或者需要较复杂的装置、设备, 或者涉及反复的氧化-还原过程, 典型的总收率仅30—50%, 分离效果也不尽满意<sup>[1, 5]</sup>。

在研究了铜基铂对溴碘的选择性吸附和解吸规律的基础上<sup>[7-9]</sup>, 拟定了分离放射性溴 $[{}^* \text{Br}]$ 和放射碘 $[{}^* \text{I}]$ 的流程。这个流程中不使用氧化剂, 溴碘可始终处于较安定的 $\text{Br}^-$ 、 $\text{I}^-$ 状态。模拟分离实验表明,  $[{}^* \text{Br}]$ 、 $[{}^* \text{I}]$ 的收率及分离系数均好于文献[1—5]中的报道。

## 二、实验方法

实验中所应用试剂, 放射性示踪剂 ${}^{82}\text{Br}$ ,  ${}^{131}\text{I}$ 和铜基铂的制备均同于文献[7, 8]中所报道的。

实验装置如图1所示。

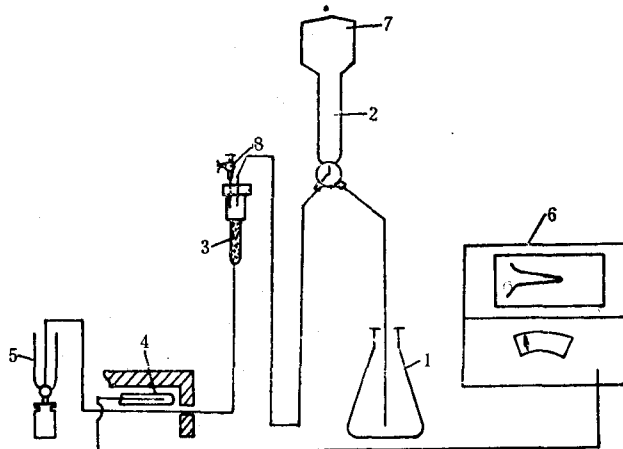


图1 实验装置示意图

1—吸附液制备瓶; 2—加料瓶; 3—吸附柱; 4—探头; 5—流出液分配装置;  
6—仪器; 7—负压或正压; 8—三通。

由 $\beta/\gamma$ 探头、计数率仪及记录仪组成的仪器系统可连续监督并记录吸附、洗涤和淋洗

情况。为准确计算吸附效率和淋洗收率等，各部分流出液再分别收集于小瓶中，用  $\phi 60 \times 5 \text{ mm}$  的塑料闪烁体探头进行相对测量，必要时进行体积校正，定期使用井型高压电离室比对。

### 三、分离原理与流程

溴、碘都可吸附于铜基铂 Cu-Pt 上，而且两者的吸附强度有着明显的区别<sup>[7,8]</sup>，但是，单靠这种吸附强度的差别还不足以达到满意的分离。可是对于放化分离来说，主要是将  $^{*}\text{I}$  与  $^{*}\text{Br}$  分离开，稳定载体的少量“交叉沾染”往往并不重要，所以载体量也是放化分离中可以用来改变某核素物理-化学行为的控制参量之一。我们在本流程中充分利用了 Cu-Pt 吸附碘量的规律<sup>[7]</sup>，就是控制运用载体量的一个例子。

吸附于 Cu-Pt 上的微量碘不易被稀碱所解吸<sup>[7]</sup>。如果先吸附  $^{*}\text{I}$ ，经过某些操作后，再吸附足够量的  $\text{I}^-$  载体，使用一定浓度的碱液，可以得到接近定量的淋洗收率。

溴在 Cu-Pt 上的吸附不仅容量较小，吸附也较弱<sup>[8]</sup>，用 0.003 N NaOH 可定量淋洗溴，但微量碘却不被淋洗下来。为了除去残留于柱上的少量  $^{*}\text{Br} (< 5\%)$ ，可重复吸附一次  $\text{Br}^-$  载体 (50—100  $\mu\text{g}$ )，并再次用 0.003 N NaOH 淋洗，即可接近定量收集  $^{*}\text{Br}$  组分。

按此设计的  $^{*}\text{Br}$ ,  $^{*}\text{I}$  分离流程如下：

(1) 在含适量  $^{*}\text{Br}$ ,  $^{*}\text{I}$  的料液中，加入总计 50  $\mu\text{g}$  的  $\text{Br}^-$  及 10  $\mu\text{g}$   $\text{I}^-$  载体。以 5—6 ml/min 的速度通过 Cu-Pt 柱，溴、碘吸附于柱上。

(2) 用水洗柱 3 次，每次 10—20 V<sub>c</sub> (柱床体积  $V_c$  约 0.8 cm<sup>3</sup>)，起初两次加入  $\frac{1}{20}$  体积的饱和 KHTar 液。

(3) 用 10—15 ml 0.003 N NaOH (pH = 3.2) 淋洗  $^{*}\text{Br}(\text{Br}^-)$ ，淋洗流速  $\sim 3 \text{ ml/min}$ ，所得即为  $^{*}\text{Br}$  组分。

(4) 使含 100  $\mu\text{g}$   $\text{Br}^-$  载体的料液过柱吸附。

(5) 15 ml 水洗柱。

(6) 以 10—15 ml 0.003 N NaOH 淋洗  $\text{Br}^-$  载体及  $^{*}\text{Br}$ 。

(7) 使含 500  $\mu\text{g}$   $\text{I}^-$  载体料液过柱吸附。

(8) 15 ml 水洗后，25 ml 0.3 N NaOH 淋洗  $^{*}\text{I}(\text{I}^-)$ ，即得到  $^{*}\text{I}$  组分。

(9) 2 × 25 ml 水洗柱，以备重复使用。

如果分离料液中  $^{*}\text{I}/^{*}\text{Br}$  之比  $> 10^2$ ，因而要求  $^{*}\text{Br}$  组分对  $^{*}\text{I}$  的去污因数  $> 10^3 - 10^4$  时， $^{*}\text{Br}$  组分可另用第二柱纯化一次。往  $^{*}\text{Br}$  组分淋出液中加入 10  $\mu\text{g}$   $\text{I}^-$  载体，分别以 H<sub>2</sub>Tar, KHTar 中和、缓冲后，上第二柱吸附，重复上述步骤(1)(2)(3)，得高纯  $^{*}\text{Br}$ 。

### 四、结果与讨论

1.  $^{*}\text{Br}$ ,  $^{*}\text{I}$  在各部分淋洗液中的分布  $^{*}\text{Br}$ ,  $^{*}\text{I}$  的典型的吸附、淋洗曲线分别参考文献[7,8]。 $^{*}\text{Br}$ ,  $^{*}\text{I}$  在吸附流出液、淋洗液中的分布列于表 1 中。

由表 1 可知，有 1—2% 的  $^{*}\text{Br}$  进入 0.3 N NaOH 淋洗液中，由此推算碘组分对  $^{*}\text{Br}$  的去污因数约为 50—100。但经在流程中加入(4)—(6)步后，第(8)步所得的碘组分对  $^{*}\text{Br}$  的去污因数可达  $10^3$  以上。

表 1  ${}^*Br$ ,  ${}^*I$  在各部分流出液中的分布

投料	吸附流出液	0.003N NaOH 15ml	0.3 N NaOH 25ml
${}^*Br$ 放射性, $1.53 \times 10^5 \text{ cpm}$ % 100	$40 \pm 30$ $<0.1$	$1.53 \times 10^5$ 100	$2.90 \times 10^3$ 2
${}^*I$ 放射性, $9.34 \times 10^4 \text{ cpm}$ % 100	$160 \pm 40$ 0.18	$33 \pm 30$ $<0.1$	$9.14 \times 10^4$ 98

根据表 1,  ${}^*I$  对溴组分的沾污  $< 0.1\%$  (按  $\bar{x} + 2\Delta$  估计上限), 即所得溴组分对  ${}^*I$  的去污因数  $> 10^3$ 。

**2. 模拟分离结果** 考虑到在实际分离中较常遇到的情况, 我们以  ${}^*I$ 、 ${}^*Br$  放射性之比约为 50—100 的混合液作为分离料液, 执行流程, 得到的吸附-淋洗曲线如图 2, 分离所得的  ${}^*Br$ 、 ${}^*I$  组分的  $\gamma$  谱分析结果如图 3 及表 2。

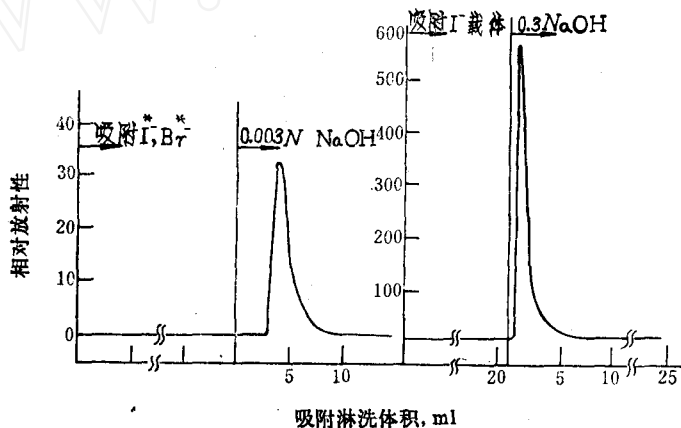
图 2  ${}^*Br$ / ${}^*I$  分离情况

表 2 流程的分离效果

	料液	${}^*Br$ 组分		${}^*I$ 组分
		单柱	2柱	
$A_{364}/A_{554}$	163	0.071	$\leq 3.0 \times 10^{-3}$	未见 ${}^*Br$ 峰, $> 1.4 \times 10^4$
含杂量 <sup>[23]</sup> , %		3.4	$\leq 0.2$	未见, $< 0.05$
去污因数		$2 \times 10^3$	$> 5 \times 10^4$	
净收率, %		$95 \pm 2$	90	$\geq 98$

注(1)  $A_{364}$ 、 $A_{554}$  分别代表  ${}^{131}I$  的 364 keV,  ${}^{82}Br$  的 554 keV 峰面积;

(2) 放射性含量, 即  ${}^*Br$  组分的含  ${}^*I$  量, 或反之。

## 五、结 论

铜基铂吸附剂对碘、溴不同的选择性吸附性可用于溴、碘的放化分离。分离所得的  ${}^*Br$ 、 ${}^*I$  组分的放射性核纯是高的。由图 3 可见, 单柱所得的  ${}^*I$  已达  $\gamma$  谱纯, 由第二柱所得的  ${}^*Br$  组分也已接近  $\gamma$  谱纯。

在一个  $0.8 \text{ cm}^3$  的柱上可达到  $\geq 10^3$  的相互去污因数, 必要时  ${}^*Br$  可在第二柱上进一步纯化, 使其对  ${}^*I$  的去污因数可提高到  $> 5 \times 10^4$ 。 ${}^*I$ 、 ${}^*Br$  的单柱收率分别为  $\geq 98\%$  和  $95 \pm 2\%$ 。该流程不使用任何氧化剂, 可大大减小  ${}^*Br$ 、 ${}^*I$  挥发的可能性。

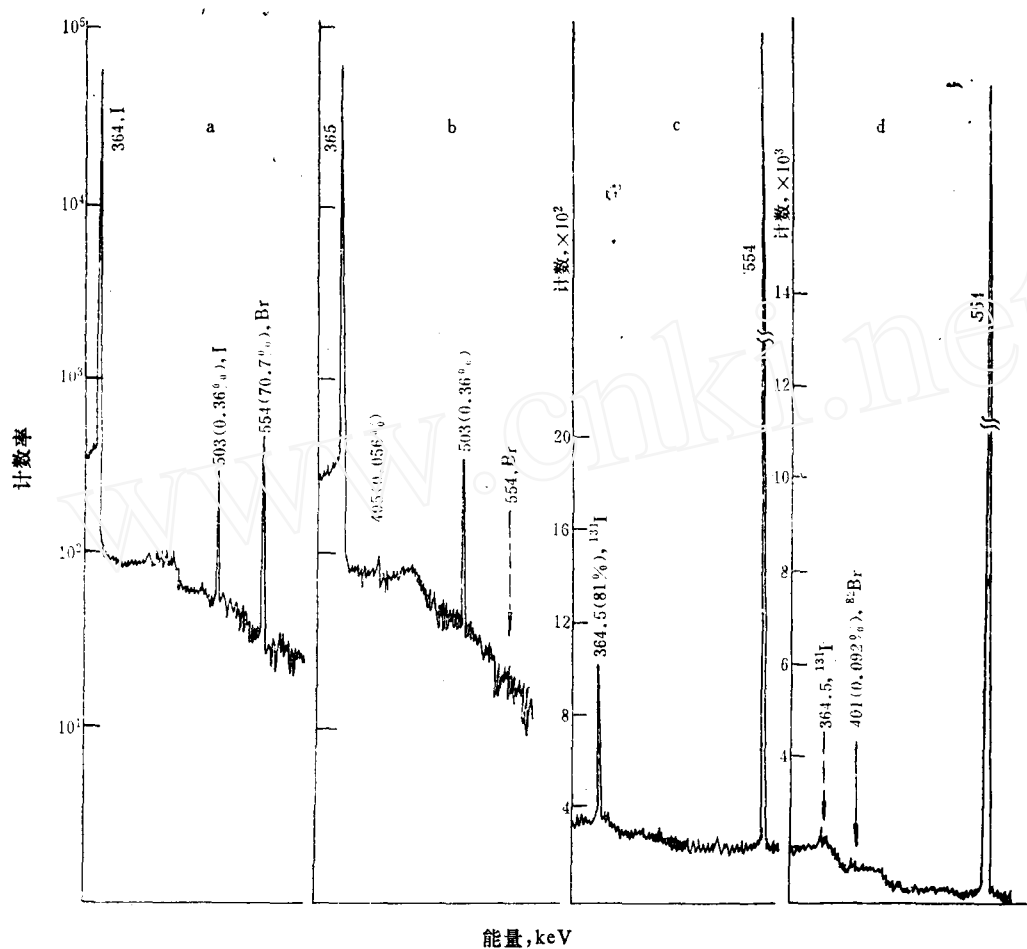


图 3  ${}^*Br$  及  ${}^*I$  的  $\gamma$  谱

a——料液; b——第一循环之 I; c——单柱所得  ${}^{82}Br$ ; d——第二柱所得  ${}^{82}Br$ 。

姚历农、张蕴辉、陈连仲、成金泰、李桂全等在  $\gamma$  谱分析，范深根、王桂芹等在安全监督，董桂芝、贾桂华、王宝山等在制靶及其它方面，曾予热情帮助，在此一併致谢。

### 参 考 文 献

- [1] Nuh, M. M. et al., *Radiochim. Acta*, **17**, 149(1972).
- [2] Williams, E. T. et al., *Phys. Rev.*, **144**, 945(1965).
- [3] Stehney, A. F. et al., *ibid.*, **89**, 194(1953).
- [4] Sattizahn, J. E. et al., *J. Inorg. Nucl. Chem.*, **12**, 206(1960).
- [5] Broden, K. et al., *ibid.*, **43**, 765(1981).
- [6] Strassman, F. et al., *Naturwissenschaften*, **28**, 817(1940).
- [7] 徐新, 罗学忠, 肖伦, 核化学与放射化学。5, 9(1983)。
- [8] 白兰芹, 徐新, 溴的选择性吸附和解吸规律的研究(待发表)。
- [9] Arino, H. et al., *Int. J. Appl. Radiat. Isot.*, **27**, 637(1976).

(编辑部收到日期：1984年9月4日)

# SEPARATION OF RADIOBROMINE FROM RADIOIODINE WITH SELECTIVE ADSORPTION ON COPPER BASED PLATINUM ADSORBENT

XU XIN BAI LANQIN XIAO LUN

(Institute of Atomic Energy, P. O. Box 275, Beijing)

## ABSTRACT

In this paper the method of separation of radiobromine from radioiodine with selection adsorption on copper based platinum adsorbent is described.

The decontamination factors for radioiodine and radiobromine are  $\geq 10^3$  and the percentage recovery for both elements are  $\geq 95\%$  through one column. The decontamination factor of radiobromine from radioiodine is  $> 10^5$  with two columns.

**Key words** Copper-based platinum, Selective adsorption, Separation of bromine and iodine.

## NaF 吸附 UF<sub>6</sub> 过程中交换区法的应用

胡景忻 张力争 张先业 居克飞 冯建章

(中国原子能科学研究院, 北京)

**关键词** 六氟化铀, 氟化钠, 吸附, 吸附区高度。

## 一、前 言

早在 1952 年, Michaels 通过阳离子交换实验提出了“交换区”的概念, 并建立了一种比较简易地测定交换区高度的方法<sup>[1]</sup>, 从而可以只需通过一些小规模的实验, 即可进行柱的设计。之后庄人杰等把交换区的概念应用于阴离子交换树脂, 对溶液流速、溶液浓度、操作温度等不同操作条件的影响进行了研究, 求出了相应经验公式<sup>[2]</sup>。离子交换树脂从溶液中进行阳离子或阴离子交换, 实质上是液相与固相之间的化学反应。而 NaF 对 UF<sub>6</sub> 的吸附可以看成气相与固相之间的化学反应。对 NaF 吸附 UF<sub>6</sub> 曾经有人进行了不少的研究, 但大部分是研究 NaF-UF<sub>6</sub> 的吸附平衡<sup>[3-7]</sup>。本工作试图把交换区的概念应用于 NaF-UF<sub>6</sub> 气-固反应, 求出吸附区高度以及一些因素对吸附区高度的影响。

## 二、实 验 部 分

1. 主要化学试剂 UF<sub>6</sub>: 经精馏纯化, 冷凝到冷阱中, 由华北某院提供。NaF 颗粒: 分析纯 NaHF<sub>2</sub> 经研磨、筛分(取 100—200 目), 加水调成面糊状, 然后由成型器制成